

آسیب پذیری خطوط ریلی شمال دشت لوت در مقابل سیلاب

منیژه قهرودی تالی^۱ - دانشیار ژنومورفولوژی، دانشگاه شهید بهشتی، تهران، ایران

تاریخ دریافت: ۱۳۹۱/۳/۱۸ تاریخ تصویب: ۱۳۹۱/۶/۲۱

چکیده

خطوط راه آهن ایران، بویژه در قلمرو مناطق خشک، از پدیده سیلاب به طور سالانه خسارت می‌بینند. بیشترین خسارات سیل در پل‌های ایجاد شده بر روی آبراهه هاست. دشت لوت ناحیه کم شیب بسیار وسیعی است که از شوره زارهای بزرگ و کوچک پوشیده شده و شبکه راه آهن شرق از شمال آن می‌گذرد. تعداد مسیل‌ها در این منطقه زیاد است؛ بطوری که ۹۳۰ پل جهت عبور رواناب از زیر خطوط راه آهن ساخته شده است، که به دلیل پست بودن منطقه و فراوانی مواد منفصل، آبراهه‌ها تغییر بستر می‌دهند. از این رو بیشتر پل‌ها در معرض سیلاب و آبگرفتگی هستند. این پژوهش با هدف بررسی آسیب پذیری خطوط ریلی شمال دشت لوت در مقابل سیلاب انجام شده است. منابع داده مورد استفاده در پژوهش شامل داده به هنگام سایت‌های بین‌المللی و نقشه‌های ۱:۲۵۰۰۰، و داده‌های ارتفاعی ASTER با ابعاد پیکسل ۳۰ متری باشد. در این پژوهش بر اساس مدل مخزن سطحی و دانه‌سنجی از ۱۷ نمونه رسوب سیلابی، نقاط تجمع رواناب در مسیر خطوط راه آهن توسط برنامه IFAS محاسبه گردیده است. نتایج نشان داد ۴۷،۲۱ کیلومتر از خطوط راه آهن بین ایستگاه‌های طبس تا نمکزار، رباط پشت بادام تا خنج و همچنین قسمتی از رمل تا جندق که دارای ۱۰۷ پل می‌باشد، در معرض سیلاب و آبگرفتگی قرار دارد. ۴۹،۷۵ کیلومتر از این خطوط شامل فاصله بین ایستگاه‌های شیرگشت تا بعد از ده شور و تل حمید تا رباط پشت بادام که دارای ۱۱۱ پل است، در معرض خطر احتمالی سیلاب قرار دارد. خروجی این تحلیل با رواناب به دست آمده از مدل I.C.A.R، مشاهدات میدانی و همچنین شاخص t-Trask ارزیابی شد. تحلیل نتایج به دست آمده گویای این است که خطوط راه آهن شرق در این منطقه از دشت‌های سیلابی عبور نموده و دارای مسیل‌های متعدد و متغیر هستند که این مسیل‌ها هنگام بارندگی توان زهکشی کافی را برای هدایت سیلاب ندارند.

کلید واژه‌ها: سیلاب، راه آهن، دشت لوت، IFAS.

مقدمه

امروزه گزارش‌های متعددی از خسارات سیلاب بر خطوط ریلی و راه آهن در دست است. یکی از اولین گزارش‌ها خسارات سیل راه آهن مربوط به سیلاب رودخانه مدوی^۱ در ناحیه کنت انگلیس در ۲۰ ژانویه سال ۱۸۴۶ است. در اثر این سیلاب حرکت ریلی متوقف شده و لوکوموتیوران جان خود را از دست داد (رید^۲، ۲۰۰۴: ۲۱۲). از آخرین گزارش‌های مربوط به خسارات سیل در خطوط راه آهن نیز می‌توان به سیلاب اخیر بانکوک در تایلند اشاره کرد. در اثر بارندگی‌های موسمی مهرماه سال ۱۳۹۰ در شمال و مرکز تایلند، بسیاری از قطعات خطوط راه آهن در این منطقه به زیر آب رفته و همچنین حرکت قطارها از جنوب به سمت مرکز کشور (بانکوک) متوقف شده و یا بصورت نا منظم انجام شده است. متأسفانه در کشور ما نیز سیلاب‌ها گاهی اوقات باعث تخریب بخشی از خطوط راه آهن و توقف حرکت آن شده است. از جمله آخرین موارد آن می‌توان به سیلاب تیرماه سال ۱۳۸۹ اشاره کرد که سه قطعه از مسیر ریلی تهران - مشهد در محدوده ۲۰ کیلومتری ایستگاه‌های بسطام تا گیلان در شهرستان شاهرود بر اثر سیل تخریب گردیده است. خطوط راه آهن ایران بویژه در قلمرو مناطق خشک از پدیده سیلاب به طور سالانه خسارت می‌بیند. همچنین به دلیل عدم وجود جریان پایه، سیلاب‌های نواحی خشک و نیمه خشک معمولاً کوتاه مدت بوده و تحت تاثیر شدت بارش می‌باشند. خشکی بستر رودخانه، هموار بودن زمین و عدم وجود پوشش گیاهی سبب می‌شود که آبراهه‌ها به طور فصلی و سالانه تغییر بستر دهند. این تغییرات بستر، تخریب پل‌های راه آهن، ریزش خاکریزها، گرفتگی پل توسط رسوبات و بالا آمدگی آب و در نتیجه سبب تخریب خطوط ریلی می‌شود که هر سال بخشی از سازه‌های خطوط ریلی را دچار خسارت می‌نماید؛ لذا پیش بینی وقوع سیل در می‌تواند تا اندازه زیادی خسارت وارده را کاهش دهد. انگلستان از جمله کشورهایی است که شبکه راه آهن آن به دلیل عبور از مسیرهایی با توپوگرافی پایین، رودخانه‌هایی متعددی را قطع می‌کنند، از این رو به صورت مداوم در معرض خطر سیلاب از نوع آبگرفتگی، فرسایش و آبشستگی قطعات خط و پلها و آبروهای قرار دارند. اولین استاندارد "مدیریت ریسک فرسایش و سیلاب در خطوط ریلی" توسط گروه استاندارد خطوط آهن انگلستان با کد (۵۱۴۳GC/RT) و کد (۵۱۵۱GC/RT) در سال ۱۹۹۵ و ۱۹۹۶ منتشر گردید. ویرایش دوم این استاندارد با تجدید نظر و اضافاتی و با همان کد در آوریل سال ۲۰۰۴ منتشر شده است و در استاندارد ۲۰۰۵ استفاده از سیستم‌های هشدار سیلاب در نظر گرفته شده است. وجود مشکلاتی از قبیل افزایش یا کاهش سریع دبی رودخانه، حمل مقدار زیاد رسوب، تغییر سطوح مقطع رودخانه، عدم وجود مقاطع کنترل و ناگهانی بودن بارش‌ها، امکان اندازه‌گیری جریان‌های مازاد توسط ایستگاه‌های آبسنجی در

1 Medway

2 Reed

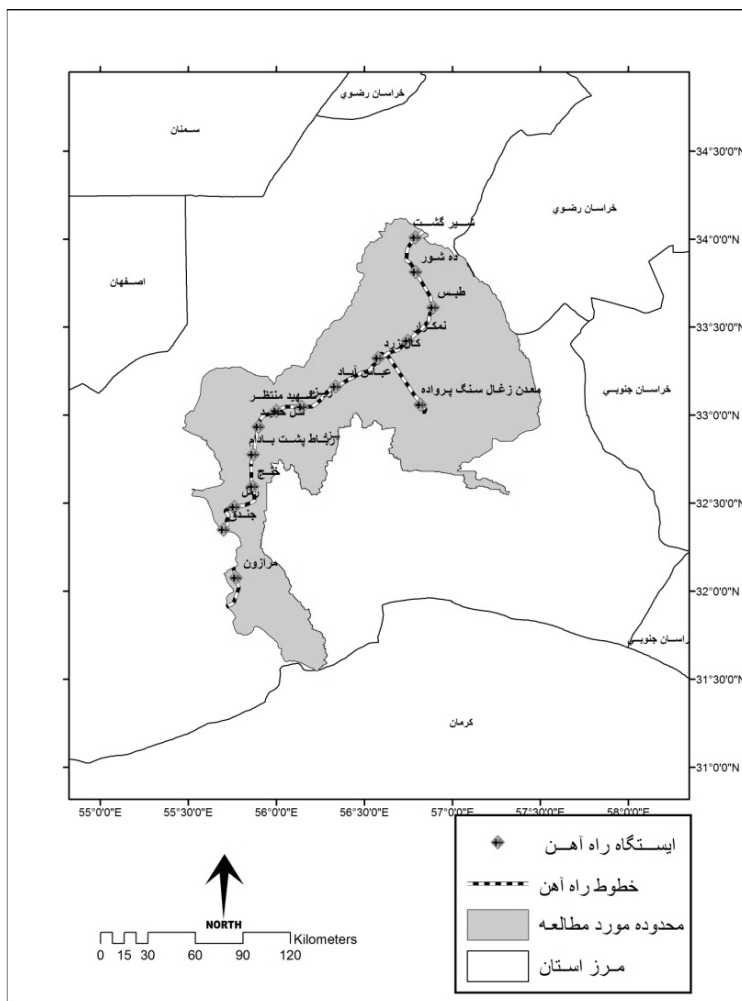
نواحی خشک را فراهم نمی سازد و از طرفی توسعه سیستم های یکپارچه تحلیل سیل به منظور کاهش مخاطره سیلاب و به حداقل رساندن صدمات انسانی در کشورهای مختلف، بویژه در مناطقی که رودخانه ها اصلاح بستر می شوند، ضرورت دارد. همچنین مشکلات کشورهای در حال توسعه در خصوص این سیستم ها شامل، راه اندازی ایستگاه های نظارت و نگهداری تجهیزات مربوط به سیستم های پیش بینی و هشدار است، زیرا این سیستم ها نیاز به جمع آوری داده باران در قسمت علیای رود و دسترسی به داده های به هنگام دارد. استفاده از مشاهدات ماهواره ای¹ EOS، محاسبه رواناب و پیش بینی سیلاب بدون مشاهدات زمینی، امکان ایجاد سیستم پیش بینی و هشدار سیل را فراهم می سازد. اگر چه در استفاده از این داده مشکلاتی مانند عدم کفایت ایستگاه اندازه گیری، میزان باران بویژه در اقلیم خشک ایران و رژیم نامنظم بارندگی، در ایران وجود دارد، لیکن استفاده از داده توپوگرافی، زمین شناسی، خاک، کاربریزمین و مدل های مناسب پیش بینی و هشدار سیل، توجه به ایجاد چنین سیستم هایی را امیدوار کننده می نماید (رید، ۲۰۰۴). در این پژوهش به منظور بررسی آسیب پذیری خطوط ریلی شمال دشت لوت در مقابل سیلاب، از سیستم های یکپارچه تحلیل سیل (IFAS²) تهیه شده توسط مرکز بین المللی مخاطرات آبی و مدیریت ریسک با همکاری یونسکو (ICHARM) و (PWRI) و داده های رقومی ماهواره ای و برداشت شده در ایران استفاده شده است.

منطقه مورد مطالعه

منطقه مورد مطالعه، بخش شمالی حوضه آبریز دشت لوت در استان یزد است. طول خطوط راه آهن موجود در این منطقه ۳۵۶،۳۷ کیلومتر است و در حوضه ای با مساحت ۲۰۲۵۱،۹۸ کیلومتر مربع قرار دارد (شکل ۱). از نظر توپوگرافی دشت لوت، ناحیه نسبتاً کم ارتفاع و وسیعی در ایران است که شمال و شمال غرب آن را کوه های کم ارتفاع، پراکنده و اراضی تپه ماهوری قرار دارد. جنوب، جنوب غرب و مغرب آن را کوه هایی با قله مرتفع در بر گرفته است. میانگین ارتفاع این دشت ۵۰۰ متر است و شبکه راه آهن از ناحیه کم شیب و زمین های شور شمال آن عبور می کند (شکل ۲) و روند تغییر ارتفاع از اطراف حوضه به سمت خطوط راه آهن است. این محدوده شبکه دائمی ندارد و شبکه آبراهه ها فصلی و اتفاقی رواناب بخش شمالی و غربی را به سمت خطوط راه آهن هدایت می کند و همچنین شبکه زهکشی اتفاقی در این منطقه به وسیله ۹۳۰ پل از خطوط راه آهن می گذرد. به طور کلی تعداد مسیل ها در این محدوده زیاد است و سالانه تغییر بستر می دهند و بنابراین کنترل رواناب در این منطقه مشکل است (جاماب، ۱۳۷۸).

1 Earth Observation Satellites

2 Integrated Flood Analysis System



شکل ۱ موقعیت محدوده مورد مطالعه

مواد و روش‌ها

در این پژوهش از برنامه IFAS استفاده شده است و این برنامه داده های خود را از سایت های جهانی برداشت می‌کند، منابعی که مورد استفاده قرار گرفت، شامل موارد زیر است:

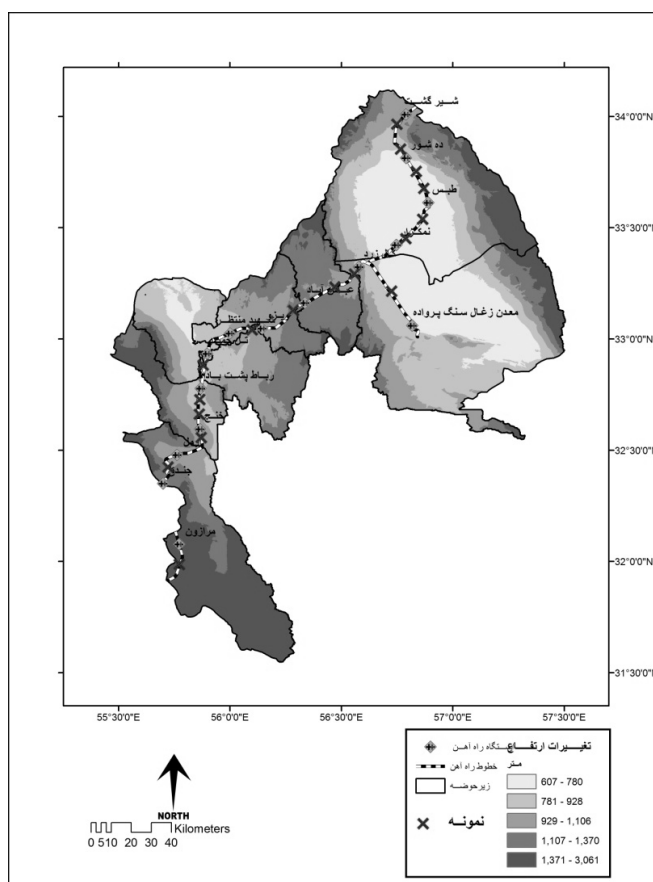
۱- بارندگی ساعتی از سایت GSMaP¹ با پیکسل های ۰٫۱ درجه (یوشیو^۲ و همکاران، ۲۰۰۹: ۱۵۱-۱۳۷)

۲- داده ارتفاعی از سایت GTOPO30³ با بزرگنمایا کیلومتر (سازمان زمین شناسی آمریکا ۱۹۹۳). برای افزایش تفکیک مکانی اطلاعات فوق با داده توپوگرافی ۱:۲۵۰۰۰، و داده ارتفاعی ASTER با پیکسل ۳۰ متری جایگزین شده است.

1 Global Satellite Mapping of Precipitation
 2 Ushio
 3 Global 30 Arc Second Elevation Data Set

۳- اطلاعات کاربری مورد نیاز از سایت (land-use GLCC(USGS که با بزرگنمایی ۱ کیلومتر در سال ۲۰۰۰ تهیه شده است (لاولند، ۱۹۹۹: ۱۰۳۲-۱۰۲۱).

۴- اطلاعات مربوط به هیدرولوژی و شبکه زهکشی از بخش هیدرولوژی، موجود در سایت ناسا^۱ با پیکسل ۳۰ ثانیه.

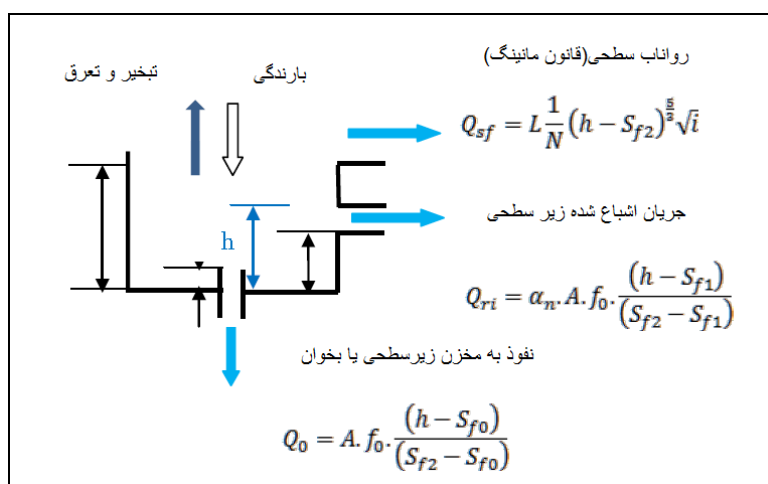


شکل ۲ تغییرات ارتفاع و نمونه ها در محدوده مورد مطالعه

این پژوهش در دو مرحله انجام شده است: در مرحله اول از مدل مخزن سطحی^۲، از سری مدل های توزیعی هیدرولوژیکی^۳، در برنامه IFAS استفاده شده است (آبوت ورفسگارد^۴، ۱۹۹۶). مدل مخزن سطحی شامل نسبت بارش به سطح زمین، متوسط سرعت و جریان نفوذی است (شکل ۳). در این شکل خروجی های سمت راست، نشان دهنده سطح، سرعت متوسط و جریان نفوذ زمین است. در این مدل نسبت

- 1 Hydro (NASA) Spatial resolution
- 2 Surface Tank Model
- 3 Distributed hydrological modeling
- 4 Abbott and Refsgaard

سطح زمین به سطح اشباع شده از جریان به عنوان یک کسر (۳/۵) از ظرفیت ذخیره سازی را بر اساس قانون مانینگ^۱ برآورد شده است. در اسفند ماه ۱۳۹۰ خطوط ریلی مورد نظر با همکاری مرکز تحقیقات راه آهن، به مدت ۳ روز مورد بازدید و نمونه برداری قرار گرفت. برای محاسبه ضریب زیری مانینگ^۲ درمسیل ها و آبراهه ها، نمونه برداری در ۱۷ نقطه در مسیر قطار از مواد بستر آبراهه ها که در تقاطع با ریل بودند دانه سنجی شد. براساس قطر ذرات ۵۰ درصد (D50) کانال ها به ۸ طبقه تقسیم شدند و ضریب زبری بر اساس روش آلدريج^۳ و گارت^۴ برای آنها محاسبه شد (آلدريج و گارت، ۱۹۷۳؛ بارنز^۵، ۱۹۶۷) (جدول ۱). جریان زیر سطحی سریع اشباع نشده نیز به عنوان بخشی از ظرفیت ذخیره سازی و میزان نفوذ نیز به عنوان یک بخشی از همان ظرفیت بر اساس قانون داریسی برآورد گردید (سوگاوارا^۶ و همکاران، ۱۹۸۳: ۲۴۷-۱۶۳؛ فلدمن^۷، ۲۰۰۰؛ لایمرینوس^۸، ۱۹۷۰).








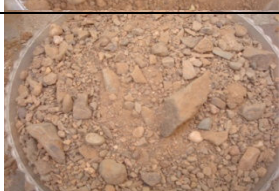


شکل ۳ شماتیک مدل جریان سطحی (کتاب راهنمای ساختار سیستم IFAS، ۲۰۱۱: ۱۳)

اجزای مدل مزبور شامل R بارندگی، Eps تبخیر، Q0 نفوذ به مخزن پایین تر، Qsf جریان سطحی، Qri جریان زیر سطحی اشباع نشده، h ارتفاع آب مخزن، Sf1 و Sf2 ارتفاع آب مخزن زیر سطحی اشباع نشده، Sf0 ارتفاع نفوذ آب و A = L*L طول شبکه مش برای برآورد مساحت می باشد.

- 1 Manning's law
- 2 Manning's Roughness Coefficients
- 3 Aldridge
- 4 Garrett
- 5 Barnes
- 6 Sugawara
- 7 Feldman
- 8 Limerinos

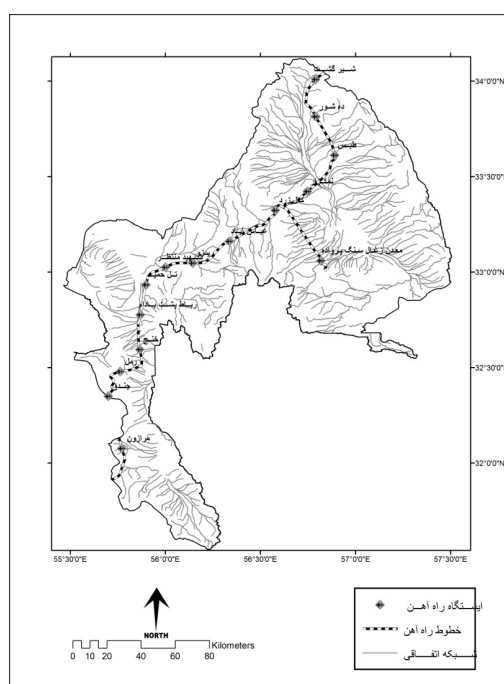
جدول ۱ ضریب زبری مانینگ (آرسمنت و اسشنیدر^۱، ۱۹۸۶: ۲۷-۳۹)

نمونه	ضریب زبری مانینگ	اندازه مواد به میلی متر در D50
	۰,۱۲	۰,۲
	۰,۱۷	۰,۳
	۰,۲۰	۰,۴
	۰,۲۲	۰,۵
	۰,۲۳	۰,۶
	۰,۲۵	۰,۸
	۰,۲۵-۰,۳۲	۱-۲
	۰,۲۶-۰,۳۵	۲-۶۴

در مرحله دوم برای ارزیابی نتایج مرحله اول از روش انجمن تحقیقات کشاورزی هندوستان^۱ (I.C.A.R) استفاده شده است. که معادله آن به شرح زیر است.

$$R = \frac{P^{1.44} * A^{0.63} * \Delta H^{0.66}}{15.19 * Ff^{2.05} * La^{2.05} * T^{1.34}} \quad \text{رابطه (۱)}$$

P و R به ترتیب بارش و رواناب سالانه بر حسب سانتی متر، A مساحت حوضه آبریز بر حسب کیلومتر مربع، ΔH حداکثر اختلاف ارتفاع حوضه بر حسب متر، Ff فاکتور شکل حوضه آبریز، T درجه حرارت متوسط سالانه بر حسب سلسیوس و La طول آبراهه اصلی بر حسب کیلومتر است (تولسون و شوemaker^۲، ۲۰۰۰). در این پژوهش مدل I.C.A.R به این منظور استفاده شده است که رواناب در این مدل تابع شرایط فیزیوگرافی و بارش است. با تعیین چارچوب مختصاتی شمال لوت بر اساس طول و عرض جغرافیایی داده ارتفاعی از سایت GTOPO30 استخراج و با داده توپوگرافی ۱:۲۵۰۰۰، و داده ارتفاعی ASTER با پیکسل ۳۰ متر گردید و در نتیجه عناصر زهکشی مانند خط القعر ها، شبکه مسیل ها و زیر حوضه ها با استفاده از داده های فوق تهیه شد (شکل ۴). سپس داده مربوط به کاربری از سایت GLCC(USGS) برداشت گردید (شکل ۵). بیشتر مساحت حوضه لوت از مناطق پست بیابانی تشکیل شده است و بخش اندکی به سایر کاربری ها اختصاص دارد. لایه های بارندگی از سایت QMORPH,CMORPH(NOAA) cover-area که در محدوده ۶۰ درجه عرض شمالی و جنوبی استخراج گردید. سپس مدل جریان سطحی اجرا شد. خروجی آنالیز برای هر نقطه از خطوط ریلی با مشاهدات میدانی در اردیبهشت ۱۳۹۱ ارزیابی گردید.



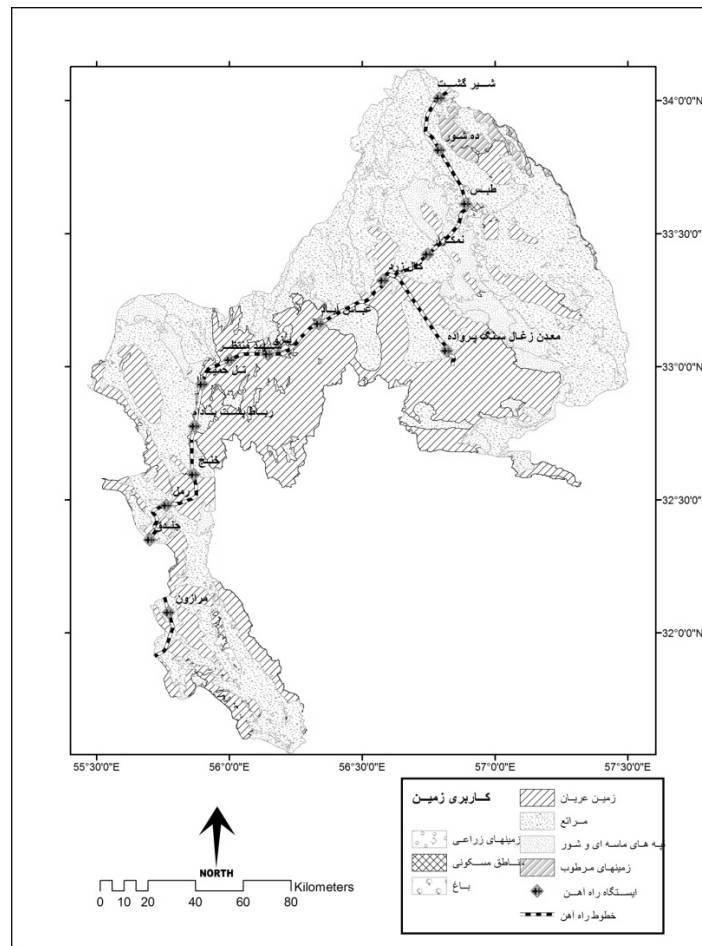
شکل ۴ شبکه زهکشی مستخرج از برنامه IFAS

1 Indian Council of Agriculture Research (I.C.A.R)

2 Tolson and Shoemaker

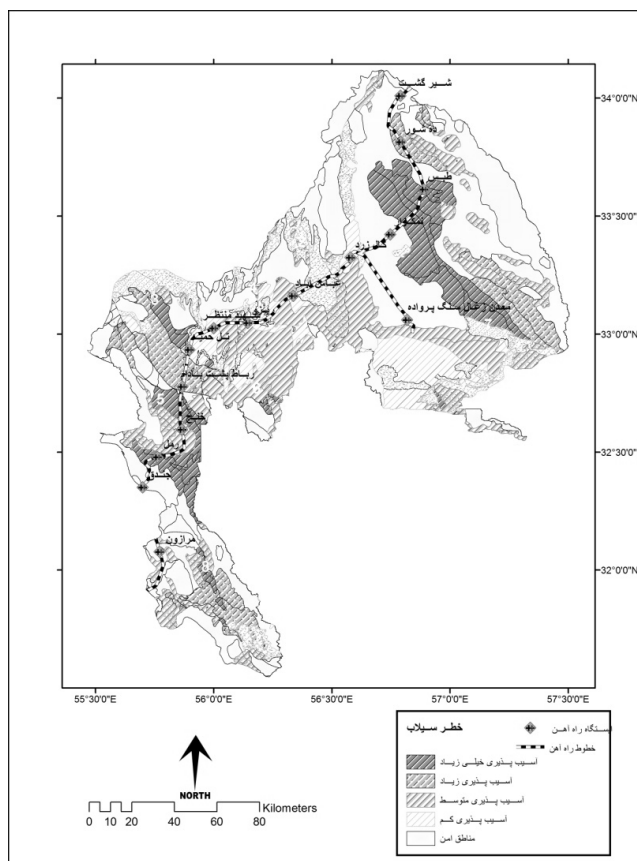
بحث و نتایج

خروجی برنامه IFAS نشان داد که از کل خطوط راه آهن مورد مطالعه که ۳۵۶,۳۷ کیلومتر است، مقدار ۴۷,۲۱ کیلومتر آن بین ایستگاه های طبس تا نمکزار، رباط پشت بادام تا خنج و همچنین قسمتی از رمل تا جندق که دارای ۱۰۷ پل است، در معرض سیلاب و آبگرفتگی هستند. ۴۹,۷۵ کیلومتر از این خطوط شامل فاصله بین ایستگاه های شیرگشت تا بعد از ده شور و تل حمید تا رباط پشت بادام که دارای ۱۱۱ پل می باشد، در معرض خطر احتمالی سیلاب قرار دارند (شکل ۶). مقایسه خروجی اخیر با رواناب به دست آمده از مدل I.C.A.R نشان داد منطقه پرخطر دارای حداکثر ارتفاع رواناب می باشد که جمع ارتفاع رواناب سالانه بیشتر از ۱۰۰ سانتی متر است (شکل ۷). حجم رواناب سالیانه در این مناطق از آن جهت زیاد است که رژیم باران آنها یکنواخت نیست و باران سالیانه خود را به صورت فصلی یا اتفاقی دریافت می کنند.



شکل ۵ داده های کاربری مستخرج از GLCC(USGS)

مشاهدات میدانی در مناطق پرخطر بین ایستگاه طبس تا نمکزار سیل بردگی های متعدد را نشان دادند. شکل ۸ بعد از ایستگاه طبس را نشان می دهد که دارای بستری از لایه های رسوبی، بویژه مارن و کنگلومرا است. این منطقه دارای توپوگرافی تپه ماهوری است و دارای مواد سست و منفصل فراوان است که آثار سیل بردگی در آن قابل مشاهده است.



شکل ۶ نقاط بحرانی تجمع رواناب استخراج از برنامه IFAS

نتیجه گرانولومتری این آبراهه نشان داد میانگین قطر دانه ها (D_{50}) حدود ۲ میلی متر است که بیانگر قدرت سیلاب در این منطقه است. شکل ۹ و شکل ۱۰ ادامه خطوط راه آهن را تا ایستگاه نمکزار و آثار سیلاب در ماه فروردین سال ۱۳۹۱ را نشان می دهد. همچنین بین ایستگاه های رباط پشت بادام تا خنج و رمل تا جندق شواهد متعددی از سیل بردگی ملاحظه شد که شکل ۱۱ بیانگر نمونه ای از آن است. نتیجه گرانولومتری این آبراهه نشان داد D_{50} در این بستر حدود ۱٫۳ میلی متر است که حاکی از شدت سیلاب است. در سیلاب هنگام رسوبگذاری، مواد جامد از سیال براساس جور شدگی جدا می شوند و در نتیجه دارای مرزهای مشخص و لایه دار می باشند. نتایج آزمایش گرانولومتری نمونه ها در مقیاس فسی^۱ به صورت منحنی تجمعی^۱ ترسیم گردید. بین مقیاس میلی متری D و لگاریتمی^۲ رابطه ۲ برقرار است. ذرات درشت (با فسی

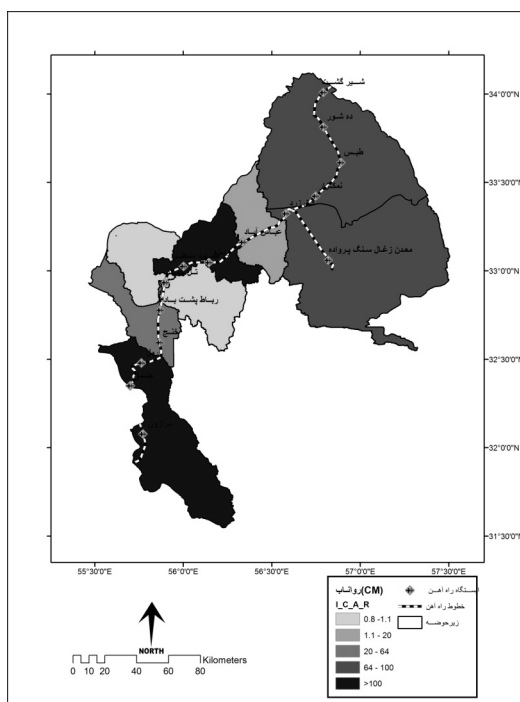
1 Cumulative curve

کمتر) در سمت چپ نمودار و ذرات ریز با فی بیشتر در سمت راست محور X قرار می‌گیرند. در این حالت منحنی، بسته به منشاء رسوبی تفسیر می‌گردد. منحنی‌های به دست آمده در نمونه‌ها به شکل را لگاریتمی^۱ می‌باشد. شکل ۱۲ دو نمونه مربوط به طبس و بین ایستگاه‌های رمل و جندق را نشان می‌دهد. در این شکل منحنی‌ها در بخش رسوبات ریز به درشت دارای شیب تند می‌باشد؛ بدین معنا که انرژی به صورت پیوسته بالا بوده و رسوبات جورشدگی دارند (لوویس^۲ و مک کونچی^۳، ۱۳۸۲: ۱۱۲-۱۱۰).

$$-\log_2 D = (-3.219 \log_{10} D) = \emptyset \quad \text{رابطه ۲}$$

برای تشخیص رسوبات سیلابی از سایر رسوبات از شاخص t-Trask استفاده شد این شاخص که براساس رابطه ۳ محاسبه می‌شود، برای رسوبات ناشی از سیلاب‌ها بین ۱,۸ تا ۲,۷ در تغییر است (کوستا و فلیشر، ۱۹۸۴). بازه شاخص فوق برای ۱۷ نمونه برداشت شده بین ۲-۲,۴۵ می‌باشد (قهرودی، ۱۳۹۱)، که بیانگر این است رسوبات تجمع یافته در زیر پل‌ها توسط سیلاب منتقل شده است.

$$S_0 = \sqrt{\frac{d_{75}}{d_{25}}} \quad \text{رابطه ۳}$$



شکل ۷ توزیع رواناب

- 1 Logarithmic
- 2 Lewis
- 3 McConchie



شکل ۸ آبستنگی بستر در پل کیلومتر ۲۰۰+۶۶۷ در مسیر شادمهر به تربت حیدریه



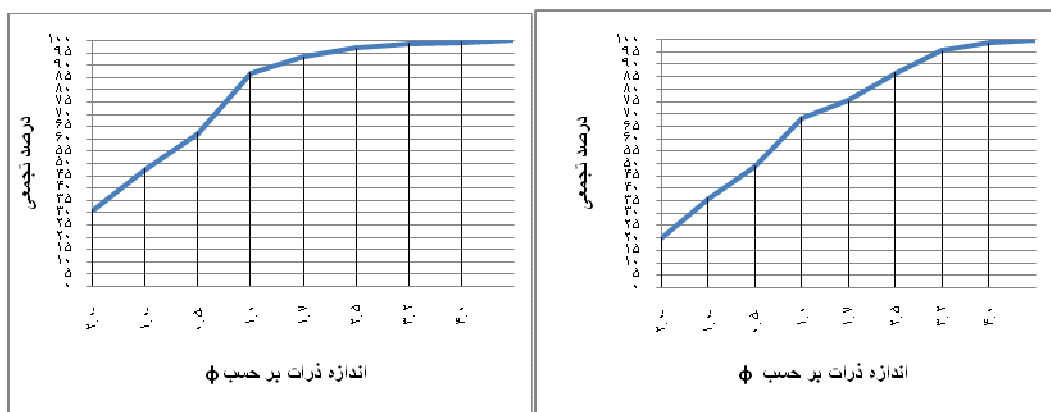
شکل ۹ آبستنگی بستر در پل کیلومتر ۲۰۰+۶۶۷ در مسیر شادمهر به تربت حیدریه



شکل ۱۰ تجمع آب در زیر پل کیلومتر ۱۰۰+۳۲۱ از نمکزار به طبس



شکل ۱۱ فرسایش شدید در کنار ریل راه آهن کیلومتر بعد از ایستگاه رمل کیلومتر ۱۴۵



شکل ۱۲ نمودار (درصد تجمعی اندازه ذرات بر حسب ϕ)، سمت راست در پل بعد از ایستگاه طبس و سمت چپ بین ایستگاههای رمل و جندق

نتیجه گیری

منطقه مورد مطالعه در مسیر راه آهن شرق کشور قرار دارد که در حمل و نقل ریلی کشور اهمیت بسزایی دارد. این ناحیه که جزو مهم ترین بخش های شبکه راه آهن ایران است، در هنگام بارندگی به دلایل متعددی خسارت می بیند. این خسارت شامل رسوبگذاری سیلاب در مسیر خط راه آهن، خطر تخریب پی در مسیر ریل، ایجاد اختلال در رفت آمد قطار، احتمال خطرات جانی ایجاد شده در مسیر و گاهی بسته شدن مسیر ریلی می باشد. در بعضی مناطق مواردی نظیر تغییر بستر، ساخت ابنیه و ایجاد باغات سبب می شود رواناب

سطحی از مسیر زهکشی طبیعی منحرف می‌گردد و در مسیر دیگری جاری می‌شوند. برای شناخت پدیده سیل خیزی و خسارت آفرینی مسیل‌های این حوزه و تعیین شبکه ریلی آسیب پذیر از برنامه IFAS که داده‌های خود را از ماهواره‌های مختلف برداشت می‌کند، استفاده گردیده است. سپس با استفاده از نقشه‌های پایه و مشاهدات میدانی بخشی از اطلاعات برنامه جایگزین شده است و نقاط آسیب پذیر در منطقه بررسی شده است. تحلیل نتایج به دست آمده گویای این است که بخش شمال دشت لوت که خطوط راه آهن شرق از آن می‌گذرد، به دلیل واقع بودن در منطقه خشک، با پدیده عدم توزیع یکنواخت باران مواجه است، بطوری که گاهی باران یکسال خود را در ۲ ساعت دریافت می‌کند و این سبب گستردگی سیلاب‌هایی می‌شود که عدم وجود پوشش گیاهی و وجود مواد منفصل بر سرعت و حجم آن می‌افزاید. مشاهدات میدانی نشان داد که خطوط راه آهن در این منطقه از دشت‌های سیلابی عبور نموده که دارای مسیل‌های متعدد می‌باشد. این مسیل‌ها مسیر ثابتی ندارند و در اثنای هر بارندگی تغییر بستر می‌دهند. این تغییر بستر سبب شده است که هنگام بارندگی توان زهکشی آبراهه‌ها کاهش یابد و هجوم آب به پل‌ها بصورت اریب انجام شود و در نتیجه پایه‌های پل‌ها در معرض تخریب سیلاب قرار گیرد، شکل ۸ و ۹ گویای تازگی بستر مسیل است. نتایج آزمایش گرانولومتری نمونه‌ها در مقیاس فی ۰۰ حاکی از قدرت سیلاب و بالا بودن انرژی آب می‌باشد و همچنین شاخص Trask- نیز سیلابی بودن رسوبات را نشان داد. شکل ۱۰ عبور ریل از محدوده پلایا مانند را نشان می‌دهد که دارای املاح ریز دانه فراوان است و دچار فرسایش سطحی و شیارهای شدید است. حجم رسوباتی که سیلاب به حرکت در می‌آورد زیاد است؛ لذا تجمع رسوبات در زیر پل‌ها سبب می‌شود که پل‌ها دچار آبگرفتگی شده و خطوط ریل صدمه ببیند. شکل ۱۰ تجمع سیلاب را در زیر پل نشان می‌دهد که به دلیل حجم زیاد مواد رسوبی و گرفتگی پل، امکان زهکشی وجود ندارد.

References

- Abbott, M.B. Refsgaard J.C., 1996. "Distributed hydrological modeling". Springer, 321p.
- Aldridge, B.N., and Garrett, J.M., 1973. Roughness coefficients for stream channels in Arizona:U.S. Geological Survey Open-File Report, 87 p.
- Arcement, George and Schneider, Verne., 1989. Guide for Selecting Manning's Roughness Coefficients for Natural Channels and Flood Plains. U.S. Geological Survey Water Supply Paper 2339.
- Barnes, H.H., Jr., 1967. Roughness characteristics of natural channels:U.S. Geological Survey Water-Supply Paper 1849, 213 p.
- British Railway Group Standard (GC/RT5143). Issue One (November 1995) "Scour and Flooding- Managing the Risk".
- British Railway Group Standard (GC/RT5143). Issue Two (April 2004) "Flooding, Scour, Wave and Tidal Action – Managing the Risk".
- British Railway Group Standard (GC/RT5151). Issue One (January 1996) "Safe Asset Management - Embankments and Cuttings".

- British Rail Safety & Standards Board, Safe Management of Railway Structures (July 2005) "Flooding & Scour Risk".
- Costa, J. & P.J, Fleisher., 1984. Physical geomorphology of debris flows. Development and applications of geomorphology, Springer-Verlog, 268-311.
- Feldman, A. D., 2000. Hydrologic Modeling System HEC-HMS, Technical Reference Manual. U.S. Army Corps of Engineers, Hydrologic Engineering Center, HEC, Davis, CA, USA.
- Fukami, K., Sugiura, T., Magome, J., Kawakami, T., 2009. 'Integrated Flood Analysis System' (IFAS version 1.2) User's manual Automatic Analysis/Flood Forecasting System Operation Manual.
- Ghahroudi, T.M., 2012. "Study and Survey of Flood Risk and Eliminate the risk of being flooded in the East of Iran (between Bafgh – Kashmar)" Report 3. Islamic Republic of Iran Railways.
- ICHARM., 2009. IFAS System Instruction Guidebook.
- Iran Water & Power Recourses Development CO., 1999. Studies if Lut and DarehAngir Basins".
- Limerinos, J.T., 1970. Determination of the Manning coefficient from measured bed roughness in natural channels: U.S. Geological Survey Water-Supply Paper 1898-B, 47 p.
- Loveland, T.R., Zhu, Z., Ohlen, D.O., Brown, J.F., Reed, B.C., and Yang, L., 1999. An Analysis of the IGBP Global Land-Cover Characterization Process. *Photogrammetric Engineering and Remote Sensing*, v. 65, no. 9, p. 1021-1032.
- Louis, D. D., MacKouchi, D., 2003. "Applied of Sedimentology". Translator: Harami, S.R., mahbubi, A. Iran University Press.
- NASA: Advancing Multi-scale Landslide Hazard Prediction by Integrating High Resolution Remote Sensing Data and Subsurface In-situ Monitoring, OU/PI with PI CSM Ning LU and GSFC Dalia Kirschbaum, USGS Jonathan Godt and Richard Wooten, 05/01/2012~04/30/2016
- Reed, W.D., 2004. "A review of British railway bridge flood failures". British Hydrological Society.
- Sugawara, M., Watanabe, I., Ozaki, E., and Katsuyama, Y., 1983. Inter-comparison of Conceptual Models of Snowmelt Runoff. Report for the Norkoping conference of the WMO project, pp.163 – 247.
- Tolson, B.A. Shoemaker, C.A., 2000. "Cannonsville Reservoir Watershed SWAT model development, calibration and validation". *Journal of Hydrology*. Volume 337, Issues 1-2, 15 April 2007, Pages 68-86.
- U.S. Geological Survey., 1993. Digital elevation models. data user guide 5. Reston, Virginia, 50 p.
- Ushio, T., Kubota, T., Shige, S., Okamoto, K., Aonashi, K., Inoue, T., Takahashi, N., Iguchi, T., Kachi, M., Oki, R., Morimoto, T., Kawasaki, Z., 2009. A Kalman filter approach to the Global Satellite Mapping of Precipitation (GSMaP) from combined passive microwave and infrared radiometric data. *J. Meteor. Soc. Japan*, 87A, 137-151.